



МОСКОВСКИЙ ГОСУДАРСТВЕННЫЙ УНИВЕРСИТЕТ
имени М.В. Ломоносова
ФИЗИЧЕСКИЙ ФАКУЛЬТЕТ

Возбуждение поверхностных волн релятивистскими электронными пучками в плазменных волноводах

Подготовил:

Студент 423 группы
Ершов Алексей Владимирович

Научный руководитель:
д.ф. - м.н., проф. Кузелев Михаил Викторович

Москва

2021

Оглавление

Аннотация	3
Введение	3
Модель	3
Дисперсионное уравнение	5
Результаты для параметров	7
Литература	12

Аннотация

В связи с проблемой повышения рабочей частоты черенковских плазменных излучателей до субтерагерцового диапазона возникла задача исследования возбуждения релятивистскими электронными поверхностными волнами волноводов с частичным плазменным заполнением в отсутствие внешнего магнитного поля. Решению этой актуальной задачи посвящена данная работа. Получено дисперсионное уравнение для определения собственных комплексных частот плазменного волновода частично заполненного плазмой и пронизываемого прямолинейным плотным релятивистским электронным пучком. Вычислены инкременты развития пучково-плазменных неустойчивостей в предельных режимах одночастичного и коллективного вынужденных эффектов Черенкова. Проведены численные расчеты, показывающие эффективность черенковского пучково-плазменного взаимодействия в диапазонах частот, недоступных для имеющихся на сегодняшний день черенковских плазменных источников электромагнитного излучения.

Введение

В плазменной СВЧ электронике в качестве электродинамических систем применяют отрезки плазменных волноводов с излучателем на одном из торцов. Отличительной особенностью плазменных излучателей является то, что их рабочая частота сопоставима с электронной ленгмюровской частотой плазменного заполнения, т.е. $\omega_p \sim (10^{10} - 10^{11})$ рад/с [2, 3].

При повышении рабочей частоты необходимо использовать более плотную плазму, для чего необходимо изменить основные теоретические модели СВЧ-электроники [5, 6]. Для замагничивания плотной плазмы требуется слишком большое магнитное поле, поэтому необходимо считать плазму слабо замагниченной или незамагниченной. Незамагниченность плазмы предполагает выполнение неравенств

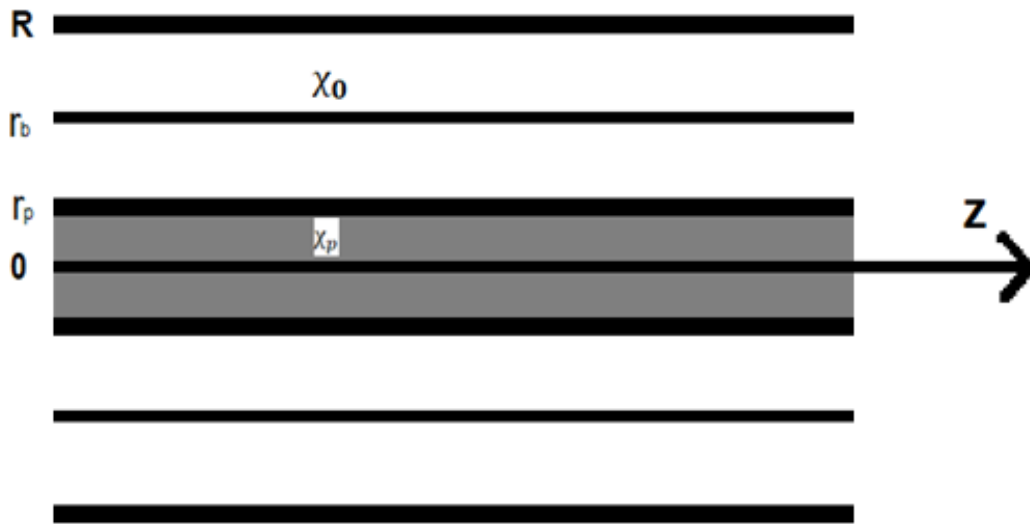
$$\Omega_e^2 \ll \omega^2, \Omega_e \omega_p^3 \ll \omega^3$$

где Ω_e - циклотронная частота. Чем плотнее плазма, тем лучше выполняются неравенства.

Плотности электронных пучков малы, по сравнению с плазмой, и поэтому пучок можно считать бесконечно тонким и замагниченным.

Модель

Рассмотрим цилиндрический волновод, в центре которого находится плазма, вне плазмы находится электронный пучок. Направим ось Z вдоль оси волновода, совпадающей с направлением движения пучка.



Введем параметры системы:

R – радиус волновода

r_b – радиус электронного пучка

r_p – радиус области плазмы

u – скорость пучка

ω_b – частота пучка

ω_p – лэнгмюровская частота плазмы

Запишем продольную составляющую поля в виде

$$E_z(t, z, r) = \frac{1}{2} \{ E(r) \exp(-i\omega t + ik_z z) + C. C. \} \quad (1)$$

Пучок бесконечно тонкий, цилиндрический и замагниченный.

Запишем продольную составляющую для каждой области, учитывая равенство нулю на стенке волновода и ограниченность функции в 0:

$$E(r) = \begin{cases} A * I_0(\chi_p r), & r < r_p \\ B * I_0(\chi_0 r) + C * K_0(\chi_0 r), & r_p < r < r_b \\ D * \left(I_0(\chi_0 r) - \frac{I_0(\chi_0 R)}{K_0(\chi_0 R)} K_0(\chi_0 r) \right) = D * F(\chi_0 r), & r_b < r < R \end{cases} \quad (2)$$

где

$$\chi_0^2 = k_z^2 - \frac{\omega^2}{c^2}; \chi_p^2 = k_z^2 - \frac{\omega^2}{c^2} \epsilon_p; \epsilon_p = 1 - \frac{\omega_p^2}{\omega^2} \quad (3)$$

Где A, B, C, D - некоторые постоянные

Граничные условия на границе плазмы и вакуума, вакуума и пучка [1]:

$$\begin{aligned}
\{E_z\} &= 0, \quad r = r_p, r = r_b \\
\left\{ \frac{\varepsilon}{\chi^2} \frac{dE_z}{dr} \right\} &= 0, r = r_p \\
\left\{ \frac{dE_z}{dr} \right\} &= -\chi_0^2 \frac{\omega_b^2 \gamma^{-3}}{(\omega - k_z u)^2} \Delta_b E_z, \quad r = r_b
\end{aligned} \tag{4}$$

Причем в вакууме $\varepsilon = 1$, а в плазме $\varepsilon = \varepsilon_p = 1 - \frac{\omega_p^2}{\omega^2}$

Дисперсионное уравнение

Подставим (2) в граничные условия (4) и составим систему уравнений

$$\left\{ \begin{aligned}
&AI_0(\chi_p r_p) - (BI_0(\chi_0 r_p) + CK_0(\chi_0 r_p)) = 0 \\
&BI_0(\chi_0 r_b) + CK_0(\chi_0 r_b) - D * F(\chi_0 r_b) = 0 \\
&\frac{\varepsilon_p}{\chi_p^2} (A * I_0(\chi_p r_p))' - \frac{1}{\chi_0^2} (B * I_0(\chi_0 r_p) + C * K_0(\chi_0 r_p))' = 0 \\
&D \left(I_0(\chi_0 r_b) - \frac{I_0(\chi_0 R)}{K_0(\chi_0 R)} K_0(\chi_0 r_b) \right)' - (B * I_0(\chi_0 r_b) + C * K_0(\chi_0 r_b))' = \\
&\quad - \chi_0^2 \frac{\omega_b^2 \gamma^{-3}}{(\omega - k_z u)^2} \Delta_b DF(\chi_0 r_b)
\end{aligned} \right. \tag{5}$$

$$F_1(\chi_0 r_b) = I_1(\chi_0 r_b) + \frac{I_0(\chi_0 R)}{K_0(\chi_0 R)} K_1(\chi_0 r_b)$$

$$\left\{ \begin{aligned}
&AI_0(\chi_p r_p) - (BI_0(\chi_0 r_p) + CK_0(\chi_0 r_p)) = 0 \\
&BI_0(\chi_0 r_b) + CK_0(\chi_0 r_b) - D * F(\chi_0 r_b) = 0 \\
&\frac{\varepsilon_p}{\chi_p} AI_1(\chi_p r_p) - \frac{1}{\chi_0} (BI_1(\chi_0 r_p) - CK_1(\chi_0 r_p)) = 0 \\
&D\chi_0(F_1(\chi_0 r_b)) - \chi_0(BI_1(\chi_0 r_b) - CK_1(\chi_0 r_b)) = -\chi_0^2 \frac{\omega_b^2 \gamma^{-3}}{(\omega - k_z u)^2} \Delta_b DF(\chi_0 r_b)
\end{aligned} \right.$$

Упростим систему, последовательно исключая переменные

$$A = \frac{(BI_0(\chi_0 r_p) + CK_0(\chi_0 r_p))}{I_0(\chi_p r_p)} \tag{6}$$

$$\left\{ \begin{aligned}
&BI_0(\chi_0 r_b) + CK_0(\chi_0 r_b) - D * F(\chi_0 r_b) = 0 \\
&\frac{\varepsilon_p}{\chi_p} (BI_0(\chi_0 r_p) + CK_0(\chi_0 r_p)) \frac{I_1(\chi_p r_p)}{I_0(\chi_p r_p)} - \frac{1}{\chi_0} (BI_1(\chi_0 r_p) - CK_1(\chi_0 r_p)) = 0 \\
&D\chi_0 F_1(\chi_0 r_b) - \chi_0(BI_1(\chi_0 r_b) - CK_1(\chi_0 r_b)) = -\chi_0^2 \frac{\omega_b^2 \gamma^{-3}}{(\omega - k_z u)^2} \Delta_b DF(\chi_0 r_b)
\end{aligned} \right.$$

$$B = \frac{C \left(\frac{\varepsilon_p}{\chi_p} K_0(\chi_0 r_p) \frac{I_1(\chi_p r_p)}{I_0(\chi_p r_p)} + \frac{1}{\chi_0} K_1(\chi_0 r_p) \right)}{\frac{\varepsilon_p}{\chi_p} I_0(\chi_0 r_p) \frac{I_1(\chi_p r_p)}{I_0(\chi_p r_p)} - \frac{1}{\chi_0} I_1(\chi_0 r_p)} = C * T1 = C * \frac{C1}{B1} \quad (7)$$

$$\begin{cases} C * T1 * I_0(\chi_0 r_b) + C K_0(\chi_0 r_b) - D * F(\chi_0 r_b) = 0 \\ D \chi_0 F_1(\chi_0 r_b) - \chi_0 (C * T1 * I_1(\chi_0 r_b) - C K_1(\chi_0 r_b)) = -\chi_0^2 \frac{\omega_b^2 \gamma^{-3}}{(\omega - k_z u)^2} \Delta_b D F(\chi_0 r_b) \\ C = D * F(\chi_0 r_b) / (T1 * I_0(\chi_0 r_b) + K_0(\chi_0 r_b)) \end{cases} \quad (8)$$

$$F_1(\chi_0 r_b) - \frac{F(\chi_0 r_b) (C1 * I_1(\chi_0 r_b) - B1 * K_1(\chi_0 r_b))}{C1 * I_0(\chi_0 r_b) + B1 * K_0(\chi_0 r_b)} = \chi_0 \frac{\omega_b^2 \gamma^{-3}}{(\omega - k_z u)^2} \Delta_b F(\chi_0 r_b)$$

$$\begin{aligned} & (I_1(\chi_0 r_b) + \frac{I_0(\chi_0 R)}{K_0(\chi_0 R)} K_1(\chi_0 r_b)) (C1 * I_0(\chi_0 r_b) + B1 * K_0(\chi_0 r_b)) \\ & - \left(I_0(\chi_0 r_b) - \frac{I_0(\chi_0 R)}{K_0(\chi_0 R)} K_0(\chi_0 r_b) \right) (C1 * I_1(\chi_0 r_b) - B1 * K_1(\chi_0 r_b)) \\ & = -\chi_0 \frac{\omega_b^2 \gamma^{-3}}{(\omega - k_z u)^2} \Delta_b F(\chi_0 r_b) * (C1 * I_0(\chi_0 r_b) + B1 * K_0(\chi_0 r_b)) \end{aligned}$$

$$\begin{aligned} & B1 * K_0(\chi_0 r_b) I_1(\chi_0 r_b) + C1 * I_0(\chi_0 r_b) \frac{I_0(\chi_0 R)}{K_0(\chi_0 R)} K_1(\chi_0 r_b) + C1 \\ & * I_1(\chi_0 r_b) \frac{I_0(\chi_0 R)}{K_0(\chi_0 R)} K_0(\chi_0 r_b) + B1 * K_1(\chi_0 r_b) I_0(\chi_0 r_b) \\ & = -\chi_0 \frac{\omega_b^2 \gamma^{-3}}{(\omega - k_z u)^2} \Delta_b F(\chi_0 r_b) (C1 * I_0(\chi_0 r_b) + B1 * K_0(\chi_0 r_b)) \end{aligned}$$

$$\begin{aligned} & (K_0(\chi_0 r_b) I_1(\chi_0 r_b) + K_1(\chi_0 r_b) I_0(\chi_0 r_b)) \left(B1 + C1 \frac{I_0(\chi_0 R)}{K_0(\chi_0 R)} \right) \\ & = -\chi_0 \frac{\omega_b^2 \gamma^{-3}}{(\omega - k_z u)^2} \Delta_b F(\chi_0 r_b) (C1 * I_0(\chi_0 r_b) + B1 * K_0(\chi_0 r_b)) \end{aligned}$$

Введем некоторые замены для упрощения записи

$$C1 = - \left(\frac{\varepsilon_p}{\chi_p} K_0(\chi_0 r_p) \frac{I_1(\chi_p r_p)}{I_0(\chi_p r_p)} + \frac{1}{\chi_0} K_1(\chi_0 r_p) \right)$$

$$B1 = \left(\frac{\varepsilon_p}{\chi_p} I_0(\chi_0 r_p) \frac{I_1(\chi_p r_p)}{I_0(\chi_p r_p)} - \frac{1}{\chi_0} I_1(\chi_0 r_p) \right)$$

$$S1 = (K_0(\chi_0 r_b) I_1(\chi_0 r_b) + K_1(\chi_0 r_b) I_0(\chi_0 r_b))$$

$$S2 = (C1 * I_0(\chi_0 r_b) + B1 * K_0(\chi_0 r_b))$$

$$W(w, k_z) = \frac{F(\chi_0 r_b) S2}{S1} \quad (9)$$

Невозмущенное дисперсионное уравнение в отсутствии пучка:

$$D(\omega, k_z) = \left(B1 + C1 \frac{I_0(\chi_0 R)}{K_0(\chi_0 R)} \right) = 0 \quad (10)$$

Точное дисперсионное уравнение для комплексных спектров исследуемого плазменного волновода с пучком имеет вид:

$$D(\omega, k_z) = -\chi_0 \frac{\omega_b^2 \gamma^{-3}}{(\omega - k_z u)^2} \Delta_b W(\omega, k_z) \quad (11)$$

Дисперсионное уравнение (11) можно решить приближённо с помощью сведения его к кубическому уравнению.

Решим начальную задачу, определим комплексную частоту.

Предположим, что отличие $\delta\omega$ от точного решения мало, то есть выполняется условие одночастичного черенковского резонанса.

Представим в уравнение (11)

$$w = k_z u + \delta\omega \quad (12)$$

И разложим по малому параметру

$$\left(D(\omega, k_z) + \frac{\partial D(\omega, k_z)}{\partial w} \delta\omega \right) \delta\omega^2 = -\chi_0 \frac{\omega_b^2 \gamma^{-3}}{1} \Delta_b \left(W(\omega, k_z) + \frac{\partial W(\omega, k_z)}{\partial w} \delta\omega \right) \quad (13)$$

Мы получили кубического уравнение относительно $\delta\omega$ которое можно решить точно.

Результаты для параметров

Зафиксируем некоторые параметры системы:

$$R = 3 \text{ см}$$

$$r_p = 1 \text{ см}$$

$$\omega_p = 30 \cdot 10^{10} \text{ 1/c}$$

$$\omega_b = 10 \cdot 10^{10} \text{ 1/c}$$

$$u = 2.27 \cdot 10^{10} \text{ см /c}$$

Сначала представлена дисперсионная кривая для (10), случая без пучка

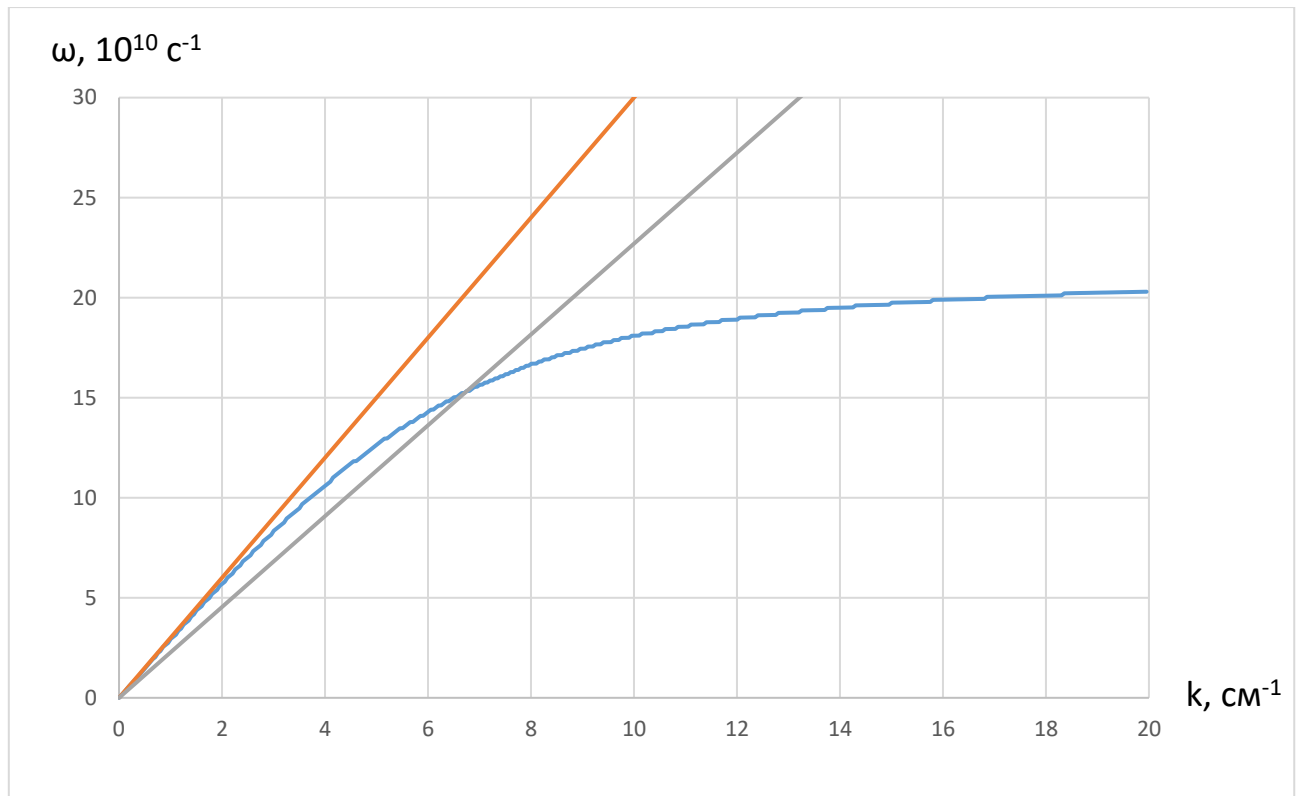


График 1. Частоты поверхностной волны в невозмущенном случае

Из графика видно, что есть точка, в которой собственные частоты и волновые числа совпадают с электронным пучком. Вблизи этой точки рассмотрим уравнение (11).

Получено решение для уравнения (11) при различных положениях пучка

Далее показан предельный случай $r_b = 1$ см.

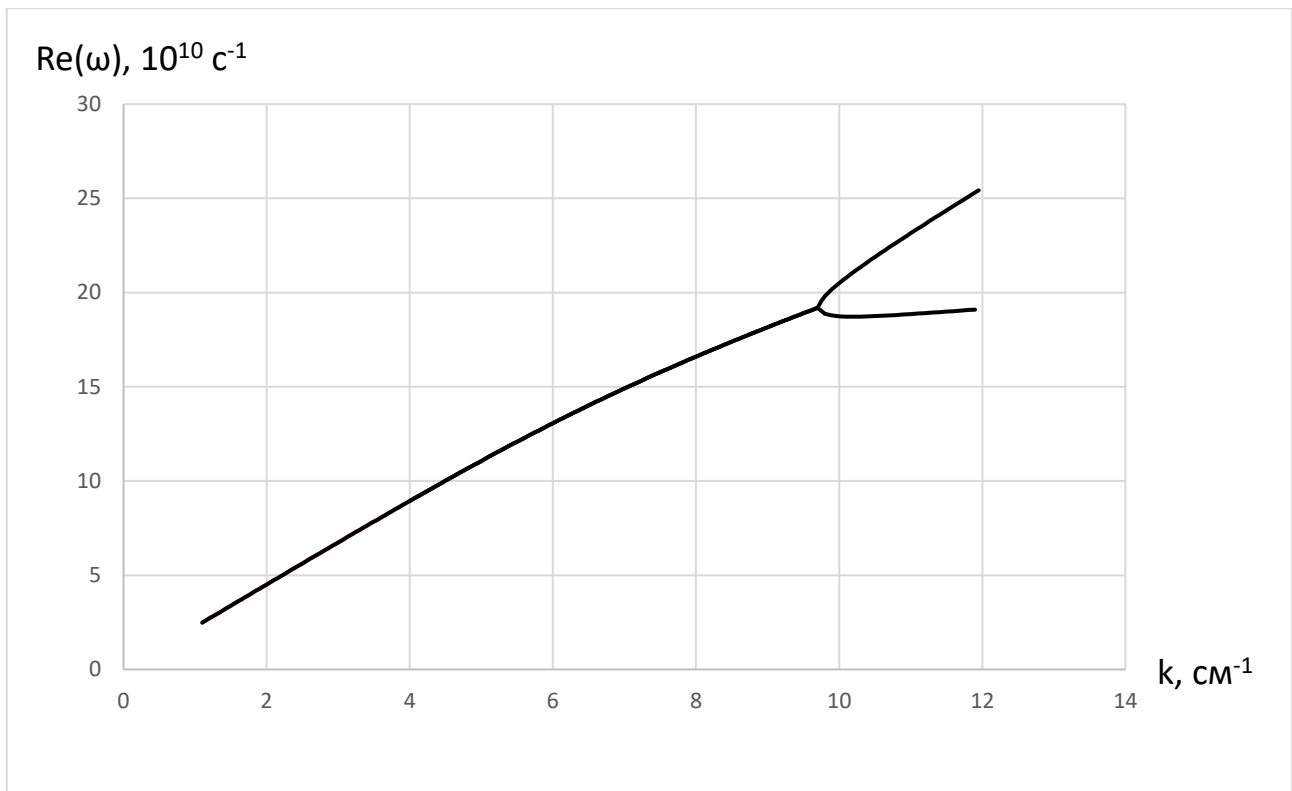


График 2 $Re(\omega)$ от k для уравнения (11)

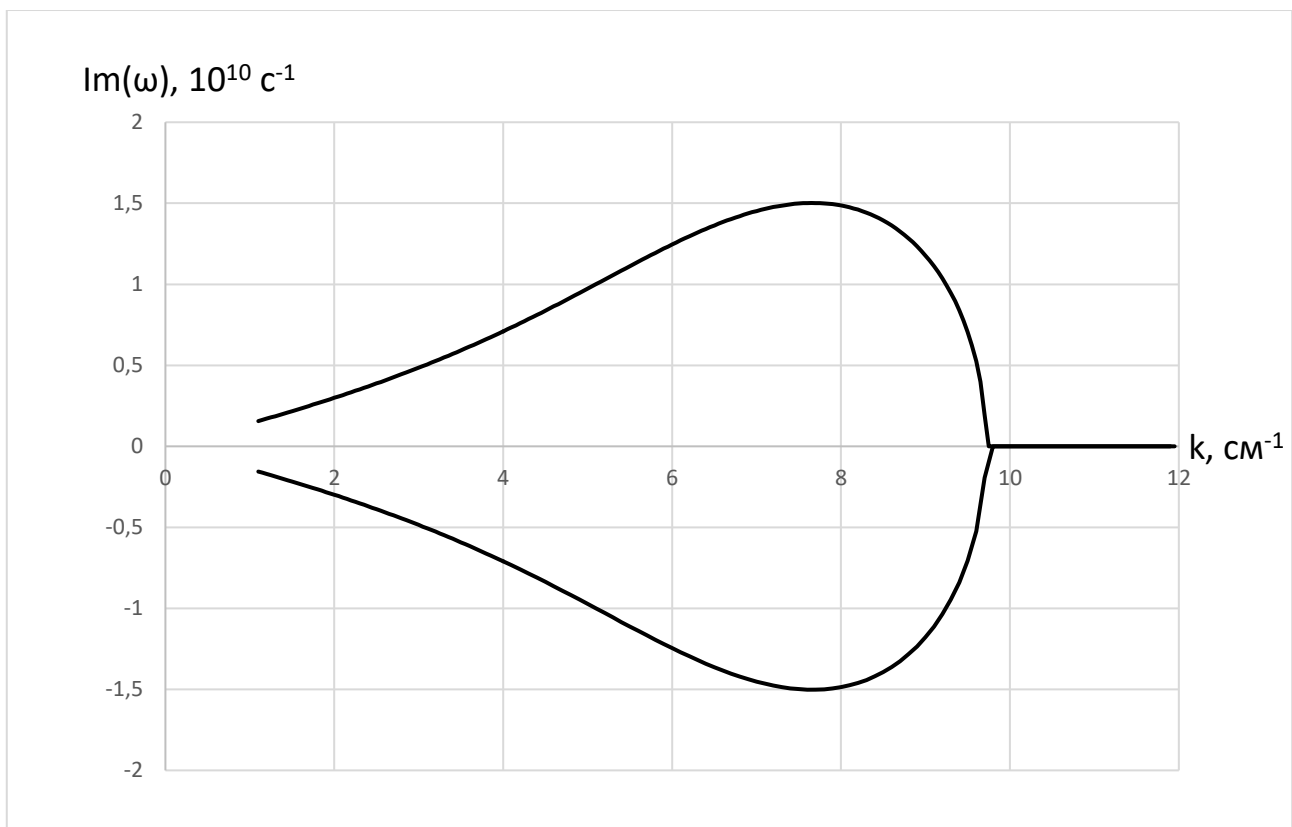


График 3. $Im(\omega)$ от k для уравнения (11)

Далее представлены результаты в случае $r_b = 1,2$ см

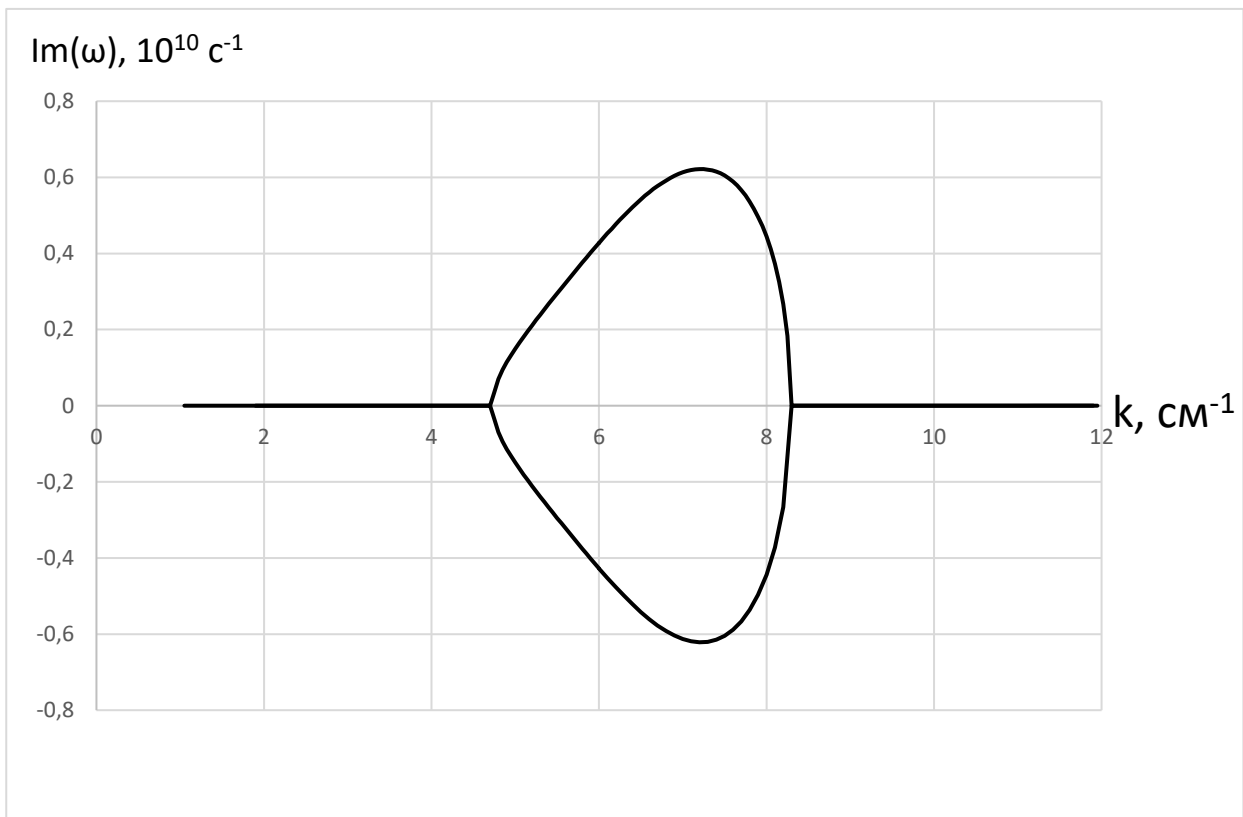


График 4. $Im(\omega)$ от k для уравнения (11)

Полученные решения можно сравнить с решением уравнения (13). Необходимо помнить, что мы предположили, что $\delta\omega$ мало, поэтому полученные результаты можно рассматривать на определенном отрезке.

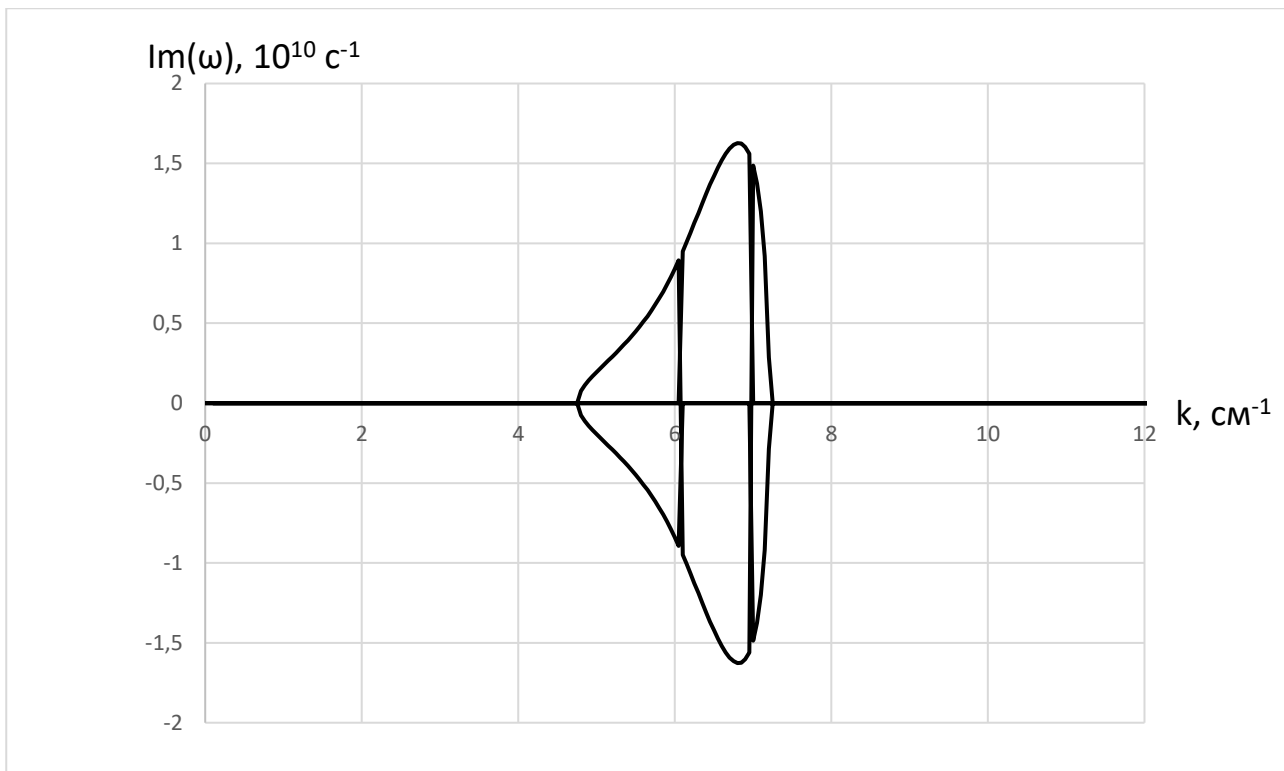


График 5. $\text{Im}(\omega)$ от k для уравнения (13)

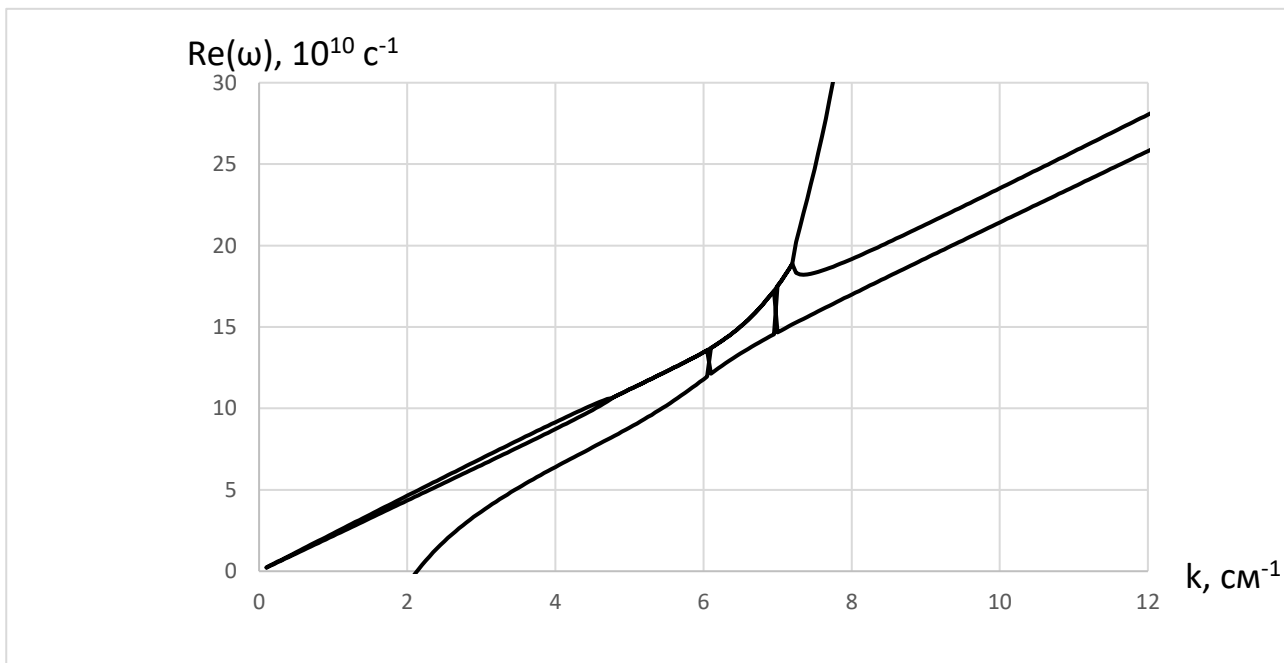


График 6. $\text{Re}(\omega)$ от k для уравнения (13)

Литература

1. Кузелев М.В. Волновые явления в средах с дисперсией. М.: ЛЕНАНД 2017 стр. 290-315
2. Александров А.Ф., Богданкевич Л.С., Рухадзе А.А. Основы электродинамики плазмы. М.: Высшая школа.
3. Стрелков П.С. УФН, 2019, т. 189, вып. 5, стр. 494-517.
4. Кукушкин А. В., Рухадзе А. А., Поверхностные волны на поверхности проводящих сред и их возбуждение релятивистскими электронными пучками, 2017
5. Кузелев М.В., Рухадзе А.А. Электродинамика плотных электронных пучков в плазме. Изд. 2-е, суц. доп. М.: ЛЕНАНД, 2018, 440 с.
6. Богданкевич И.Л., Литвин В.О., Лоза О.Т. Кр. сообщ. по физике ФИАН, 2016, т.43, № 2, с. 19-24.